

Ti6Al4V 表面磁控溅射高硬 SiC 薄膜的摩擦磨损性能

Friction/Wear Properties of Magnetron Sputtered High-hard SiC Films on Ti6Al4V Alloy

潘应晖¹, 许晓静²

(1 武夷学院 电子工程系,福建 武夷山 354300;

2 江苏大学 先进成形技术研究所,江苏 镇江 212013)

PAN Ying-hui¹, XU Xiao-jing²

(1 Department of Electronic Engineering, Wuyi University, Wuyishan 354300, Fujian, China; 2 Institute of Advanced Forming Technology, Jiangsu University, Zhenjiang 212013, Jiangsu, China)

摘要:采用室温磁控溅射技术在 Ti6Al4V 表面制备出高硬 SiC 薄膜,对其组织结构、纳米压痕行为和摩擦磨损性能进行了研究。结果表明:实验制备的 SiC 薄膜呈非晶态,其纳米硬度、弹性模量分别为 26.8GPa 和 229.4GPa;在以氮化硅球(半径为 2mm)为对摩件的室温 Kokubo 人体模拟体液下,其磨损速率在 $10^{-5} \text{ mm}^3 \text{ m}^{-1} \text{ N}^{-1}$ 级,载荷低(50g)时摩擦因数约为 0.173,载荷高(200g)时摩擦因数约为 0.280,此时薄膜自身发生局部破裂。

关键词:钛基材;薄膜;纳米压痕;摩擦磨损;磁控溅射

doi: 10.3969/j.issn.1001-4381.2013.06.013

中图分类号: TG 174.4 文献标识码: A 文章编号: 1001-4381(2013)06-0063-04

Abstract: High-hard SiC film was developed on Ti6Al4V alloy using magnetron sputtering technique at room temperature, and its microstructure, nanoindentation and friction/wear properties were investigated. The results show that the SiC films were amorphous and exhibited the nano-hardness of 26.8GPa and the elastic modulus of 229.4GPa. As sliding against Si_3N_4 ball (2mm in radius) using ball-on-disc type wear tester under Kokubo SBF at room temperature, the SiC films exhibited the special wear rate in the magnitude order of $10^{-5} \text{ mm}^3 \text{ m}^{-1} \text{ N}^{-1}$ and the friction coefficient of about 0.173 and 0.280 at the load of 50g and 200g. The higher friction coefficient is primarily due to itself breakage of the SiC films.

Key words: titanium substrate; film; nanoindentation; friction and wear; magnetron sputtering

Ti6Al4V 具有比强度高、抗腐蚀、生物相容性好等特性,是目前人工关节、骨创伤产品临床应用医用金属材料^[1],但其摩擦因数较高、抗磨损性能较差,如何通过表面改性,提高其耐磨性,已成为该领域内一个新的研究热点^[2]。

SiC 密度低、热稳定性和化学稳定性优良,并具有摩擦小、硬度大、磨损抗力高等性能^[3-9],是很好的生物医用材料^[10,11]。目前国内外 SiC 薄膜的制备方法主要有化学气相沉积、离子束合成、溅射沉积及溶胶-凝胶等^[12,13],已有的研究表明,薄膜的性能、结构随制备方法、沉积工艺的不同而显示出较大差异。磁控溅射法具有成膜温度低、沉积速率高,薄膜结合力强、致密、均匀,成膜质量好,不影响基材的性能,成膜条件可

控性、均匀性和重复性好等优点,很适用于金属表面改性^[14]。通过磁控溅射技术^[15]在 Ti6Al4V 医用合金上制备 SiC 薄膜的研究报道还较少。

本工作采用磁控溅射技术在 Ti6Al4V 表面制备出高硬 SiC 薄膜,对 SiC 薄膜的组织结构、纳米压痕行为和摩擦磨损性能,进行了实验研究和分析讨论,以期为生物医用钛合金的摩擦学表面改性提供科学依据。

1 实验方法

Ti6Al4V 基材的名义化学成分(质量分数/%)为:5.5~6.8 Al, 3.5~4.5 V, <0.30 Fe, <0.08 C, <0.05 N, <0.015 H, <0.20 O, 其余为 Ti。基材经

砂纸磨平、抛光后用丙酮进行超声波清洗。

采用 JGP560CVI 型超高真空多功能磁控溅射仪制备薄膜。靶材为 SiC, 直径为 60mm。溅射薄膜前, 在进样室中对基材和靶材进行反溅清洗 15min 以去除表面杂质。采用射频(RF)磁控溅射技术在基材表面沉积 SiC 薄膜。薄膜的制备参数列于表 1。

表 1 薄膜溅射的实验参数

Table 1 Deposition parameters of films

Parameter	Value
Background pressure/Pa	2.5×10^{-5}
Substrate temperature/°C	25
Magnetron sputtering technology	RF
Working gas (argon) pressure /Pa	2.0
Argon gas mass flow rate/(mL · min ⁻¹)	65
Power/W	200
Time/min	240
Target-substrate distance/mm	70

实验采用带有 X 射线能谱仪(EDS)的 JEOL JSM-7001F 型场发射扫描电子显微镜(SEM), 观察微观形貌; 用 D/max-2500PC 型 X 射线衍射(XRD)仪对薄膜进行物相分析, X 射线波长为 0.15405nm, 扫描速率为 6(°)/min; 用纳米压痕仪(Berkovich 压头, 半径为 50nm)测量薄膜纳米压痕行为, 最大压入深度不超过薄膜厚度的 10%, 纳米压痕性能取四次测量的平均值; 用 CETR UMT-2 型球-盘式摩擦磨损仪测试摩擦磨损性能, 磨球材质为 Si_3N_4 , 球半径为 2mm, 旋转直径为 3mm, 旋转速率为 200r/min, 室温 Kokubo 人体模拟体液下。Kokubo 人体模拟体液(1000mL)的成分为 7.996g NaCl, 0.35g NaHCO_3 , 0.224g KCl, 0.278g $\text{KH}_2\text{PO}_4 \cdot 3\text{H}_2\text{O}$, 0.228g $\text{MgCl}_2 \cdot 6\text{H}_2\text{O}$, 0.278g CaCl_2 , 0.071g Na_2SO_4 , 6.057g $(\text{CH}_2\text{OH})_3\text{CNH}_2$, 其余为 H_2O (用 HCl 调整 pH 至 7.4(温度为 36.5°C))^[16]。采用 VYKO NT1100 型非接触式光学轮廓仪测量磨痕的表面轮廓, 通过 $w_d = 2\pi rA/pl$ 计算磨损速率, 式中: w_d 为磨损速率($\text{mm}^3 \text{m}^{-1} \text{N}^{-1}$); r 为旋转半径(mm); A 为磨痕轮廓截面面积(mm^2); p 为载荷(N); l 为磨损行程(m)。其中 $l = 2\pi rv t$ (v 为转速(r/min), t 为磨损时间(min))。

2 实验结果及分析

2.1 薄膜的组织结构

图 1 为 SiC 薄膜的 SEM 形貌。由图 1 可以看出, 薄膜的表面具有纳米尺度“畴”形貌的特征, “畴”间结合大多数区域紧密, 但也存在不紧密的区域(如图 1 中

箭头所指)。

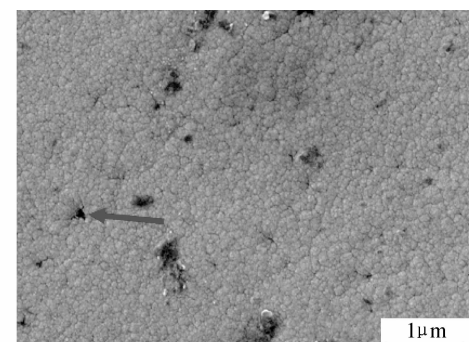


图 1 SiC 薄膜的 SEM 形貌

Fig. 1 SEM morphology of the SiC films

图 2 为薄膜基体的断面 SEM 照片。由图 2 可以看出, 基材与 SiC 薄膜间的界面结合良好, 没有发现微孔、裂纹等不良区域, SiC 薄膜的厚度约为 2μm。

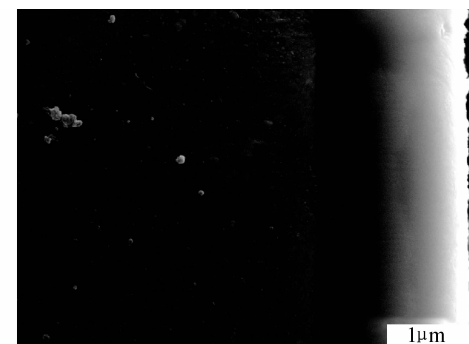


图 2 SiC-Ti6Al4V 的断面 SEM 形貌

Fig. 2 SEM photography of cross-section of the SiC-Ti6Al4V

图 3 给出了 SiC 薄膜的 XRD 谱。由图 3 可以看出, XRD 谱中只出现了 Ti 的衍射峰, 没有出现代表 SiC 的衍射峰, 说明此 SiC 薄膜是非晶态的。

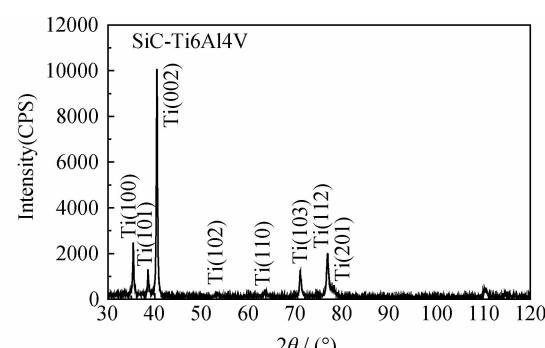


图 3 SiC-Ti6Al4V 的 XRD 光谱

Fig. 3 XRD pattern of the SiC-Ti6Al4V

2.2 纳米压痕行为

图 4 给出了 SiC 薄膜的纳米压痕力-位移曲线。

表 2 列出了 SiC 薄膜的纳米硬度 (H) 和弹性模量 (E)。与文献[5—10]中多数 SiC 薄膜相比,本 SiC 薄膜具有类似高的硬度和弹性模量值和硬弹比。

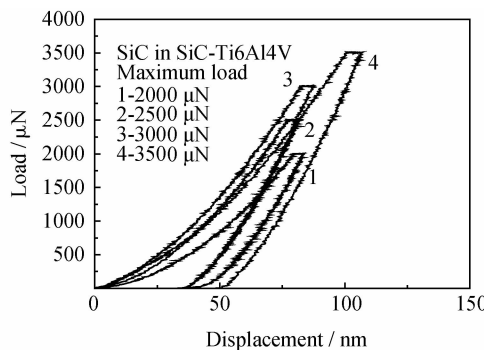


图 4 纳米压痕载荷与位移关系曲线

Fig. 4 Nano-indentation load & displacement curves

表 2 纳米硬度 (H) 和弹性模量 (E) 的平均值

Table 2 Average values of nano-hardness (H) and elastic modulus (E)

Films-substrate system	H/GPa	E/GPa
SiC-Ti6Al4V	26.8	229.4

2.3 摩擦磨损性能

图 5 给出了摩擦因数随磨损时间变化的曲线。由图 5 可以看出, SiC 薄膜的摩擦因数比 Ti6Al4V 合金要低。在低载荷 (50g) 时, SiC 薄膜具有低的摩擦, 其平均摩擦因数约为 0.173。在高载荷 (200g) 时, SiC 薄膜由于出现局部破裂, 发生磨粒磨损, 摩擦因数显著增大, 其平均值约为 0.280。

表 3 列出来了 SiC 薄膜的磨损速率。由表 3 可以看出, SiC 薄膜的磨损速率在 $10^{-5} \text{ mm}^3 \text{ m}^{-1} \text{ N}^{-1}$ 量级, 比类金刚石薄膜的磨损速率高约一个数量级, 但比 Ti 金属的磨损速率低一个数量级以上^[17]。

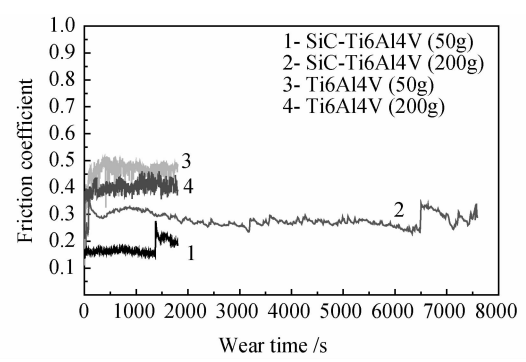


图 5 摩擦因数随磨损时间变化的曲线

Fig. 5 Variation of friction coefficient with wear time

表 3 SiC 薄膜的磨损速率

Table 3 Specific wear rate for the SiC film

Material	Load/g	Time/h	Wear rate/ ($10^{-6} \text{ mm}^3 \text{ m}^{-1} \text{ N}^{-1}$)
SiC in	50	0.5	34.362
SiC-Ti6Al4V	200	2.1	11.749

图 6 给出了磨痕表面的 SEM 形貌。由图 6 可以看出, 钛合金基材在 50g 载荷经 0.5h 磨损后, 便呈现出明显的犁沟, 见图 6(a), 磨损较为剧烈, 但 SiC 薄膜在同等条件下, 磨损表面仍较光滑, 破裂现象较轻, 见图 6(b)。在 200g 载荷经 2.1h 磨损后, 磨损表面出现了较严重的 SiC 薄膜破裂现象, 见图 6(c), 这种破裂不是由于 SiC 薄膜与基体的界面发生剥落引起的, 可能是因 SiC 薄膜内部发生破裂导致的。SiC 薄膜自身发生破裂可能是由以下两个原因导致的:一是薄膜自身存在不致密的孔穴(图 1 中箭头所指);二是孔穴的存在导致摩擦过程中裂纹容易萌生, 进一步的摩擦导致裂纹的扩展。如能进一步消除 SiC 薄膜的不致密孔穴, 阻止裂纹的萌生与扩展, 无疑将会显著提高 SiC 薄膜的摩擦磨损性能。



图 6 SiC 薄膜摩擦磨损表面 SEM 形貌

(a) 钛合金基材 (50g/0.5h); (b) SiC 薄膜 (50g/0.5h, SBF); (c) SiC 薄膜 (200g/2.1h, SBF)

Fig. 6 SEM morphologies of worn track of the SiC films

(a) bare Ti6Al4V (50g/0.5h); (b) SiC-Ti6Al4V (50g/0.5h, SBF); (c) SiC-Ti6Al4V (200g/2.1h, SBF)

3 结论

(1)采用室温磁控溅射技术可以在 Ti6Al4V 合金表面制备出高硬度的 SiC 薄膜。

(2)本 SiC 薄膜的纳米硬度和弹性模量分别约为 26.8GPa 和 229.4GPa, 膜基系统具有好的摩擦磨损性能。

(3)在以氮化硅球(半径为 2mm)为对磨件的室温 Kokubo 人体模拟体液下其磨损速率在 $10^{-5} \text{ mm}^3 \text{ m}^{-1}$ N^{-1} 级, 载荷(50g)低时摩擦因数约为 0.173, 载荷高(200g)时, 薄膜自身发生局部破裂, 摩擦因数约为 0.28。

参考文献

- [1] GEETHA M, SINGH A K, ASOKAMANI R, et al. Ti based biomaterials, the ultimate choice for orthopaedic implants-A review [J]. Progress in Materials Science, 2009, 54 (3): 397–425.
- [2] ÖSTERLE W, KLAFFKE D, GRIEPENTROG M, et al. Potential of wear resistant coatings on Ti-6Al-4V for artificial hip joint bearing surfaces [J]. Wear, 2008, 264(7–8): 505–517.
- [3] ESTEVE J, LOUSA A, MARTINEZ E, et al. Amorphous $\text{Si}_x\text{C}_{1-x}$ films: an example of materials presenting low indentation hardness and high wear resistance [J]. Diamond and Related Materials, 2001, 10(3–7): 1053–1057.
- [4] COSTA A K, CAMARGO JR S S, ACHETE C A, et al. Characterization of ultra-hard silicon carbide coatings deposited by RF magnetron sputtering [J]. Thin Solid Films, 2000, 377–378 (12): 243–248.
- [5] ORDINE A, ACHETE C A, MATTOS O R, et al. Magnetron sputtered SiC coatings as corrosion protection barriers for steels [J]. Surface and Coatings Technology, 2000, 133–134(11): 583–588.
- [6] COSTA A K, CAMARGO JR S S. Amorphous SiC coatings for WC cutting tools [J]. Surface and Coatings Technology, 2003, 163–164(1): 176–180.
- [7] BLUM T, DRESLER B, KAßNER ST, et al. Wear-resistant amorphous SiC coatings produced by plasma-enhanced CVD [J]. Surface and Coatings Technology, 1999, 116–119(9): 1024–1028.
- [8] ZAYTOUNI M, RIVIERE J P. Wear reduction of TA6V produced by SiC coatings deposited by dynamic ion mixing [J]. Wear, 1996, 197(9): 56–62.
- [9] RIVIERE J P, ZAYTOUNI M, DELAFOND J. Characterization and wear behavior of SiC coatings prepared by ion beam assisted deposition [J]. Surface and Coatings Technology, 1996, 84(1–3): 376–382.
- [10] ASPENBERG P, ANTILA A, KONTTINEN Y T, et al. Benign response to particles of diamond and SiC: bone chamber studies of new joint replacement coating materials in rabbits[J]. Biomaterials, 1996, 17(8): 807–812.
- [11] SWAIN B P, PATTANAYAK D K. Simulated body fluid (SBF) adsorption onto α -SiC:H thin films deposited by hot wire chemical vapor deposition (HWCVD) [J]. Mater Lett, 2008, 62(20): 3484–3486.
- [12] 蒋小松, 陈俊英, 黄楠. 磁控溅射制备 TiO_2 薄膜对医用 NiTi 合金弹簧圈的表面改性 [J]. 功能材料, 2007, 38 (8): 1282–1286. JIANG Xiao-song, CHEN Jun-ying, HUANG Nan. Preparation of TiO_2 films by unbalanced magnetron sputtering for surface modification of biomedical NiTi alloy [J]. Journal of Functional Materials, 2007, 38 (8): 1282–1286.
- [13] 夏登福, 许晓静, 卓刘成, 等. 磁控溅射 DLC/SiC/Ti 多层膜对镁合金摩擦磨损性能的影响 [J]. 航空材料学报, 2009, 29(4): 47–51. XIA Deng-fu, XU Xiao-jing, ZHUO Liu-cheng, et al. Effect of magnetron sputtered DLC/SiC/Ti films on friction/wear behaviors of magnesium alloy [J]. Journal of Aeronautical Materials, 2009, 29(4): 47–51.
- [14] 祝元坤, 朱嘉琦, 韩杰才, 等. 磁控溅射制备 SiC 薄膜的高温热稳定性 [J]. 材料研究学报, 2009, 23(4): 410–414. ZHU Yuan-kun, ZHU Jia-qi, HAN Jie-cai, et al. High-temperature thermal stability research on SiC thin films by magnetron sputtering [J]. Chinese Journal of Materials Research, 2009, 23 (4): 410–414.
- [15] 许晓静, 盛新兰, 张体峰, 等. 磁控溅射掺碳 TiB_2 薄膜的 Raman 光谱与摩擦行为 [J]. 材料工程, 2012, (8): 30–32. 38. XU Xiao-jing, SHENG Xin-lan, ZHANG Ti-feng, et al. Raman spectrum and friction behaviors of carbon-doped TiB_2 films prepared by magnetron sputtering [J]. Journal of Materials Engineering, 2012, (8): 30–32. 38.
- [16] KOKUBO T, KUSHITANI H, SAKKA S, et al. Solutions able to reproduce in vivo surface-structure changes in bioactive glass-ceramic A-W3 [J]. Journal of Biomedical Materials Research, 1990, 24(6): 721–734.
- [17] XU X J, WANG H, CHENG X N. Improvement of tribological behaviour of biomedical nanocrystalline titanium by magnetron sputtered DLC/SiC double layer films [J]. Materials Science Forum, 2009, 610/613(9): 1026–1033.

收稿日期: 2012-02-16; 修订日期: 2012-10-29

作者简介: 潘应晖(1965—), 男, 副教授, 硕士, 研究方向: 先进材料制造与性能表征、摩擦学与表面科学技术, 联系地址: 福建省武夷山市武夷大道 16 号武夷学院电子工程系 (354300), E-mail: pyhok@126.com